

## КОНЦЕНТРАЦИЯ НАПРЯЖЕНИЙ ВБЛИЗИ НЕОДНОРОДНОСТИ И ЭКСПЕРИМЕНТАЛЬНОЕ ВЫЯВЛЕНИЕ ЭФФЕКТА МОМЕНТНЫХ НАПРЯЖЕНИЙ

*Я. М. Ширяев*

*(Ленинград)*

В последнее время многие авторы, следуя основополагающим работам [1—3], приложили значительные усилия для развития новой механики микроконтинуума, в которой учитываются перемещения микроэлементов. Для приложения этих теорий требуется определить довольно большое количество новых упругих постоянных. Эффекты, которые выявляются в результате учета перемещения микроэлементов, рассматривались теоретически рядом авторов. Однако экспериментальных работ, в которых выявлялся бы эффект этого учета и определялись бы новые упругие постоянные в материалах, очень мало [4—6]. Цель данной работы — выявить эффект влияния моментных напряжений на концентрацию напряжений вблизи неоднородности в случае плоской деформации экспериментальным методом фотоупругости.

Рассматривается концентрация напряжений вблизи кругового цилиндра радиуса  $a$ , точно совпадающего с полостью и вставленного в бесконечную среду (полосу), которая подвергается действию равномерной нагрузки  $p$  в бесконечности. Круговой цилиндр (неоднородность) и внешняя среда имеют различные упругие константы: модуль сдвига и коэффициент Пуассона  $G_1, v_1$  и  $G_2, v_2$ ;  $l_1$  и  $l_2$  (новые упругие постоянные, введенные моментной теорией упругости) соответственно.

Возьмем полярную систему координат  $r, \theta$ . Обозначим компоненты тензора напряжений  $\sigma_r, \sigma_\theta, \tau_{r\theta}, \tau_{\theta r}$  и компоненты тензора моментных напряжений  $\mu_r, \mu_\theta$ .

Взяв функции напряжений в виде [2] и составив граничные условия полного контакта на контуре неоднородности (при  $r = a$ ), найдем, согласно моментной теории упругости [1, 2], решение для напряжений, получающееся в замкнутом виде через модифицированные функции Бесселя  $I$  и  $K$ . Решение по классической теории, в котором моментными напряжениями пренебрегают, получается путем предельного перехода, когда  $l_1 = l_2 = 0$ .

В общем случае местоположение точки, в которой возникают наибольшие напряжения, и величина коэффициента концентрации напряжений являются сложными функциями упругих постоянных  $G_i, v_i, l_i$  ( $i = 1, 2$ ). Наибольшие напряжения  $\sigma_\theta$  развиваются при  $r = a$  и  $\theta = \pm\pi/2$ . Для значений  $G_1/G_2 < 1$  коэффициент концентрации напряжений  $k = \sigma_\theta^{(2)}(a, \pm\pi/2)/p$ , а для значений  $G_1/G_2 > 1$   $k = \sigma_\theta^{(1)}(a, \pm\pi/2)/p$ , где индексы (1) и (2) относятся к неоднородности и к окружающей среде соответственно

$$(1) \quad \begin{aligned} \sigma_\theta^{(1)}(a, \pm\pi/2) = & \frac{(1-v_2)p}{1+(1-2v_1)g} + \frac{2(1-v_2)p}{Q} [M + 24(1-\varepsilon v_1) \times \\ & \times (l_2/a)^2 L_2(2-L_1)]; \\ \sigma_\theta^{(2)}(a, \pm\pi/2) = & \frac{v_2+(1-2v_1)g}{1+(1-2v_1)g} p - \frac{2p}{Q} [(v_2-g)M - 3g \times \\ & \times (1-v_1)N_2L_2(2-L_1)], \end{aligned}$$

где

$$(2) \quad g = G_1/G_2; \quad N_1 = 8(1-v_1)(l_1/a)^2; \quad N_2 = 8(1-v_2)(l_2/a)^2;$$

$$L_1 = (a/2l_1)I_1(a/l_1)/I_2(a/l_1); \quad L_2 = (a/2l_2)K_1(a/l_2)/K_2(a/l_2);$$

$$Q = g(1-g)(l_2/l_1)^2 N_2 L_2 \left[ 3N_1 L_1 - 6N_1 + \frac{4g(1-v_1)}{1-g} \right] -$$

$$- [3 - 4v_2 - N_2 L_2 + g(1+N_2 L_2)] M;$$

$$M = [4g(1-v_1)/(1-g)][1 - L_1 - g(l_2/l_1)^2(1+L_2)] +$$

$$+ (2-L_1) - [1 + g(l_2/l_1)^2(1+L_2)](1 + 3N_1 L_1 - 6N_1).$$

На фиг. 1 показана зависимость коэффициента  $k$  от отношения  $a/l_2$ , полученная из формул (1), (2), при значениях параметров: кривая 1 —  $G_1/G_2 = 0$ ,  $v_2 = 1/3$ ; 2 —  $G_1 = 0,5 G_2$ ,  $v_1 = v_2 = 1/3$ ,  $l_1 = 0$ ; 3 —  $G_1 = 2G_2$ ,  $v_1 = v_2 = 1/3$ ,  $l_1 = 0$ ; 4 —  $G_1/G_2 = \infty$ ,  $v_2 = 1/3$ . Сплошные линии соответствуют моментной теории, штриховые — классической.

Для экспериментального определения концентрации напряжений использовался поляризационно-оптический метод. Образцы полос изготавливались из эпоксидной смолы ЭД-6, предел пропорциональности материала составлял 530 кг/см<sup>2</sup>, модуль упругости 37500 кг/см<sup>2</sup> и коэффициент Пуассона  $\nu=0,38$ . В каждом образце имелось от 3 до 5 малых отверстий различного радиуса. Эксперимент проводился для двух предельных случаев: а)  $G_1/G_2 = 0$ ; б)  $G_1/G_2 = \infty$ , при этом в отверстия вклеивались эпоксидным kleem холдного отвердения стальные диски.

На контуре отверстия в этих предельных случаях наибольшее нормальное напряжение  $\sigma_{\theta\max}$  можно вычислить [4, 5] из максимального порядка интерференционных полос  $n_{\max}$ , используя основной закон фотоупругости в форме

$$(3) \quad \sigma_{\theta\max} = C n_{\max},$$

где  $C$  — постоянная материала образца данной толщины.

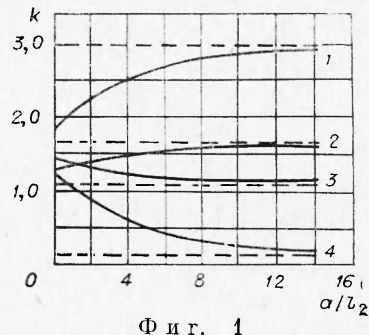
Испытывается образец, имеющий несколько малых отверстий различного радиуса. При этом коэффициенты концентрации для любых отверстий  $i$  и  $j$  связаны соотношением

$$(4) \quad k_i/k_j = \Delta(n_{\max})_i / \Delta(n_{\max})_j,$$

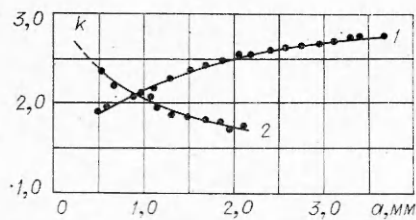
где  $\Delta(n_{\max})$  — приращение порядка изохром на контуре, соответствующем приращению прикладываемой нагрузки.

Высокая точность этого сравнительного метода заключается в использовании отношения (4), благодаря чему ошибки, обусловленные краевыми эффектами, экстраполяционными и другими факторами, могут быть сведены к минимуму.

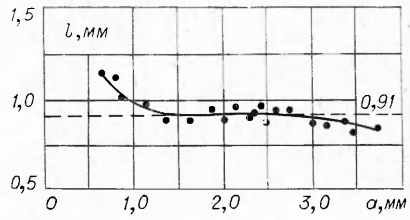
В данном исследовании различие в приращениях максимального порядка изохром для отверстий различного радиуса находилось путем графического экстраполирования с использованием круговой поляризации при увеличенном изображении интерференционных полос. Кроме того, различные отверстия в одном образце с картинами изохром около них увеличивались до одинакового радиуса, затем эти картины сравнивались. Для определения положения порядков и граничных наблюдений применялся оптический компаратор. Использовался в основном монохроматический свет с длиной волны 546,1 мкм.



Фиг. 1



Ф и г. 2



Ф и г. 3

На фиг. 2 показана эмпирическая зависимость коэффициента концентрации напряжений  $k$  от радиуса отверстия для одного и того же материала полосы ( $G_1/G_2 = 0$ ;  $G_1/G_2 = \infty$ ).

Полагая равными теоретическое и экспериментальное значения коэффициента концентрации напряжений, можно определить значение упругой постоянной  $l$ . Это определение было сделано для случая  $G_1/G_2 = 0$ , и его результаты представлены на фиг. 3, где видно, что в ряде случаев значения  $l$  зависят от величины радиуса отверстия (кривая линия). Прямая линия, параллельная оси абсцисс, соответствует идеальному случаю — значения  $l$  не зависят от радиуса отверстия. Наибольшие расхождения получаются в случае очень малых отверстий, при сравнительно больших отверстиях имеются некоторые несовпадения. Резкое увеличение  $l$  в области очень малых отверстий объясняется тем, что размер отверстия и толщина полосы становятся величинами одного порядка. Приложение моментной теории к конкретному напряженному состоянию требует, чтобы отношение  $a/l$  было достаточно велико по сравнению с единицей (но не больше 10), на что указано в работе [2]. Что касается некоторого уменьшения  $l$  в области больших отверстий, то это, по-видимому, объясняется тем, что здесь начинают сказываться граничные условия для полосы конечной ширины, не выполненные полностью в аналитическом решении по моментной теории упругости.

Поступила 30 VI 1975

#### ЛИТЕРАТУРА

- Кувшинский Е. В., Аэро Э. Л. Континуальная теория асимметрической упругости. Учет «внутреннего» вращения.— ФТТ, 1963. т. 5, № 9, с. 2591—2598.
- Миндлин Р. Влияние моментных напряжений на концентрацию напряжений.— Сб. пер. Механика, 1964, № 4.
- Миндлин Р. Микроструктура в линейной упругости. — Сб. пер. Механика, 1964, № 4.
- Ширяев Я. М. Исследование влияния масштабного фактора на концентрацию напряжений около отверстий.— «Механика полимеров», 1970, № 3, с. 565—566. № 1642-70 деп. в ВИНИТИ.
- Ширяев Я. М. Влияние моментных напряжений на концентрацию напряжений вблизи цилиндрической неоднородности в растянутой полосе.— «Изв. высш. учеб. заведений. Машиностроение», 1974. № 8, с. 13—17.
- Perkins R. W. Experimental evidence of a couple-stress effect.— «AIAA J.», 1973, vol. 11, N 7, p. 1053—1055.